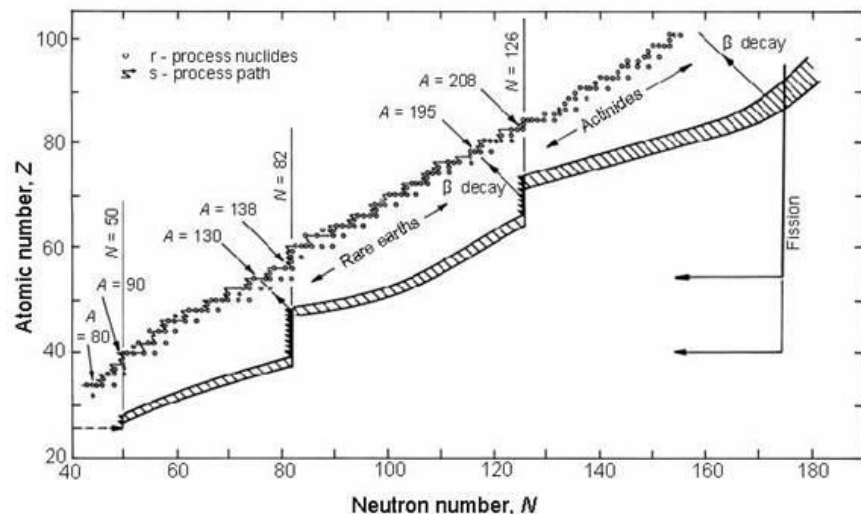
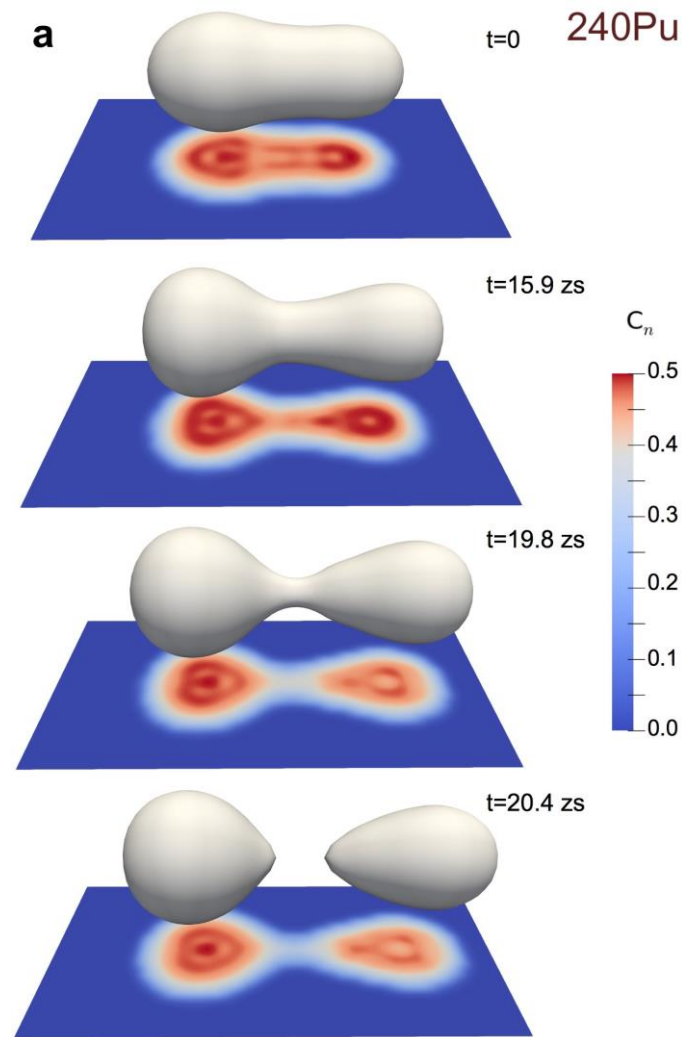


Introduction : fission and cluster decay

- 核分裂：重い原子核が2つの原子核に分裂する現象
→大振幅集団運動
- 理論的にチャレンジングな問題
- r過程元素合成などの様々な現象でも重要



- クラスタ崩壊 ($^{223}\text{Ra} \rightarrow ^{209}\text{Pb} + ^{14}\text{C}$ 等)
→非対称度が大きい核分裂とみなすこともできる



G. Scamps and C. Simenel, Nature 564 382 (2018).

先行研究: pair hopping model

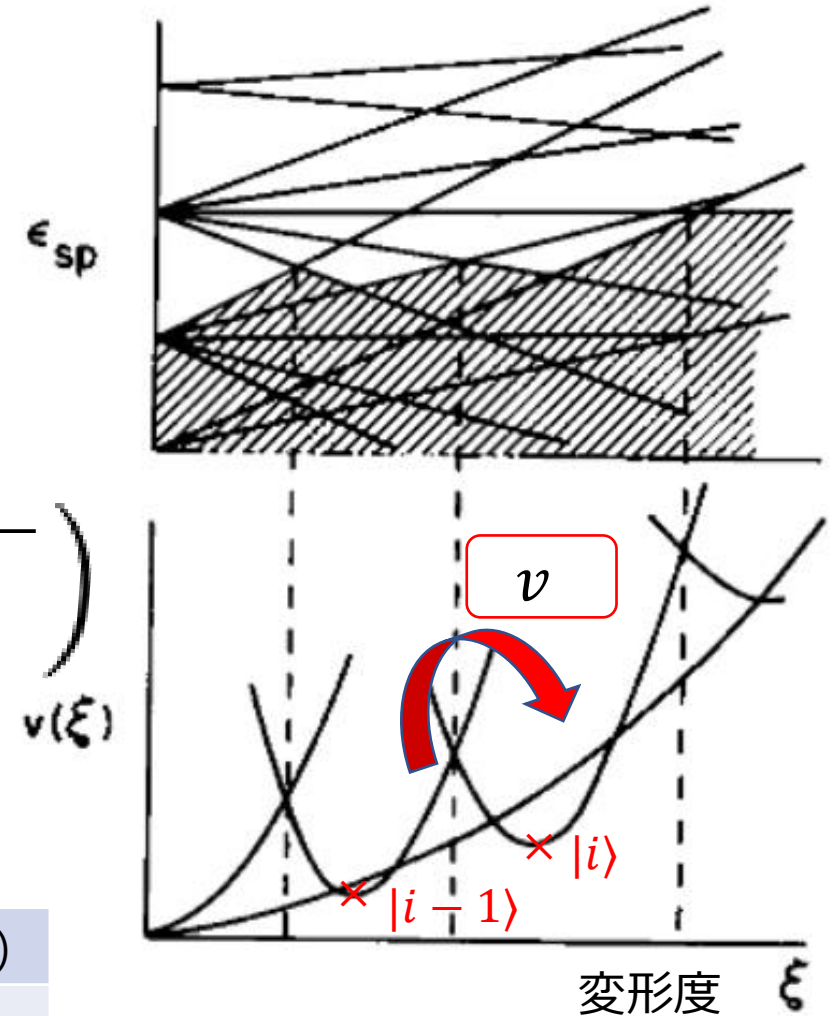
- Band Crossing → 原子核の形状の発展
残留相互作用によるクーパ対のホッピング

$$H = H_{HF} + H_{pair} = H_{HF} - G \sum_{\nu, \nu'} a_{\nu}^{\dagger} a_{\nu}^{\dagger} a_{\nu'} a_{\nu'}$$

$$\langle i | H | j \rangle = \begin{pmatrix} \ddots & & & & & \\ & E_{i-1} & v & & & \\ & v & E_i & v & & \\ & & v & E_{i+1} & & \\ & & & & \ddots & \end{pmatrix} \begin{pmatrix} E_i: \text{配位 } i \text{ での HF エネルギー} \\ v = \langle i-1 | H_{pair} | i \rangle \\ \approx -2.9 \text{ MeV} \end{pmatrix}$$

- 実験との比較 ⇒ 実験値をよく再現

decay rate	実験値 (s ⁻¹)	pair hopping model (s ⁻¹)
²³² U → α + ²²⁸ Th	3.2 × 10 ⁻¹⁰	1.1 × 10 ⁻¹¹
²³² U → ²⁴ Ne + ²⁰⁸ Pb	6.0 × 10 ⁻²²	7.8 × 10 ⁻²²
²²³ Ra → ¹⁴ C + ²⁰⁹ Pb	4.4 × 10 ⁻¹⁶	3.9 × 10 ⁻¹⁴



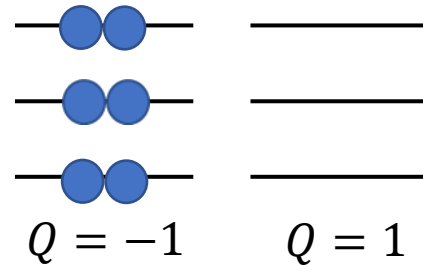
F. Barranco et al., Nucl. Phys. A 512, 253 (1990).

先行研究: maximum coupling approximation

- P+QQ模型のハミルトニアン

$$\hat{H} = \sum_{k=0}^{N_{\text{orb}}-1} \epsilon_k \hat{n}_k + v_Q \hat{Q} \hat{Q} - G \sum_{k \neq k'} \hat{P}_k^\dagger \hat{P}_{k'}, \quad (\hat{n}_k = a_k^\dagger a_k + a_{\bar{k}}^\dagger a_{\bar{k}}, \hat{Q} = \sum_k q_k \hat{n}_k, \hat{P}_k^\dagger = a_k^\dagger a_{\bar{k}}^\dagger)$$

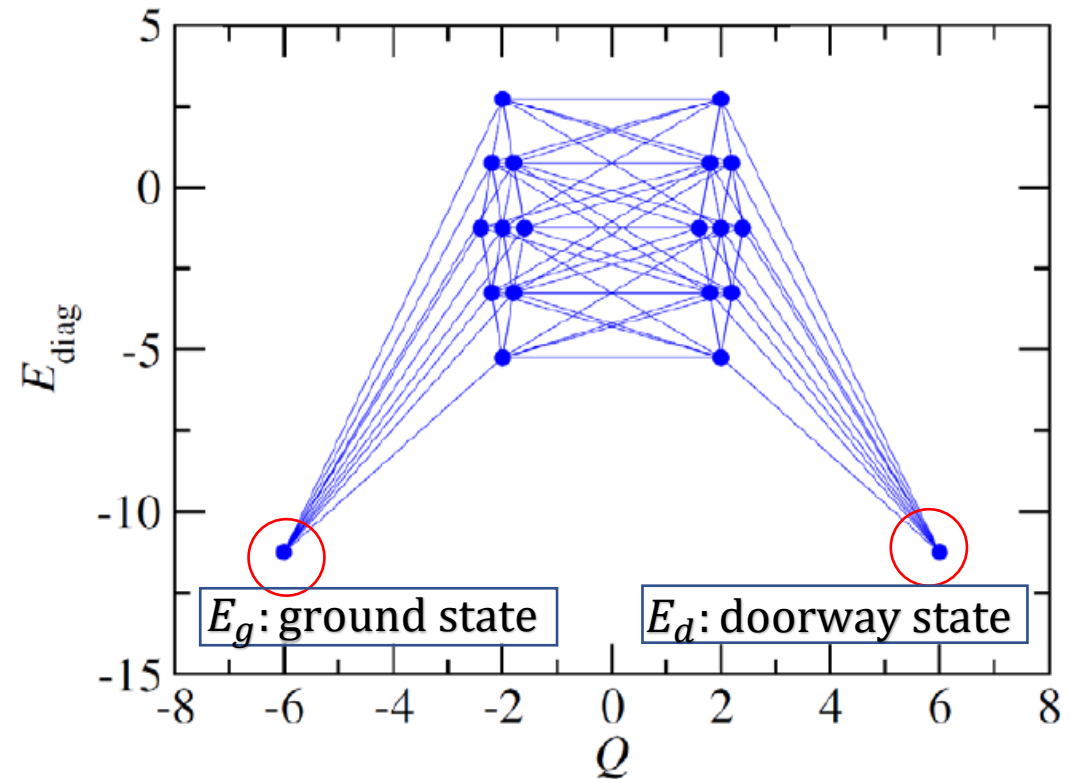
- 3個のクーパ対をつめる
 $\Rightarrow {}_6C_3 = 20$ 個の配位



- 右端の戸口状態は複素エネルギーを持つ

$$E_d - E_g = \Delta - i\Gamma_d/2$$

- $\mathbf{H} = \begin{pmatrix} E_g & \mathbf{v}_g^T & 0 \\ \mathbf{v}_g & \mathbf{H}_b & \mathbf{v}_d \\ 0 & \mathbf{v}_d^T & E_d \end{pmatrix}$ を対角化 \Rightarrow decay width



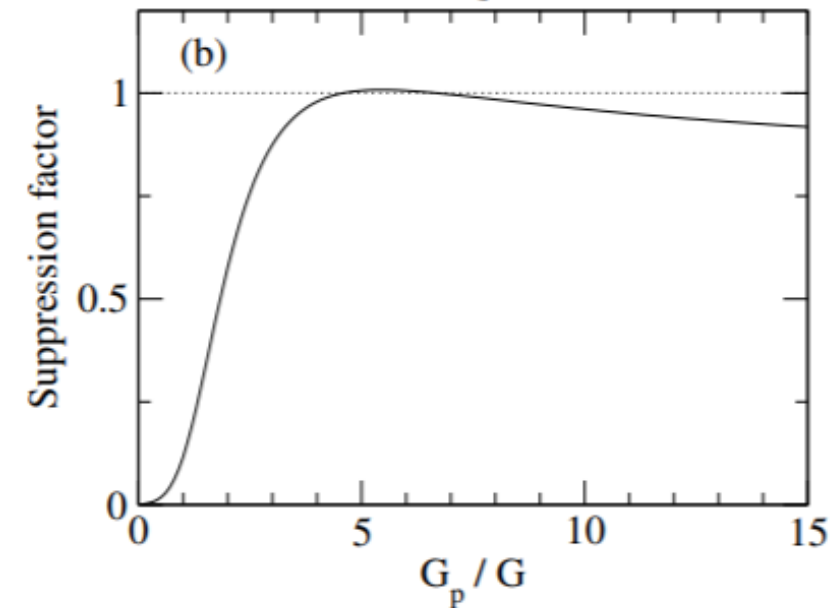
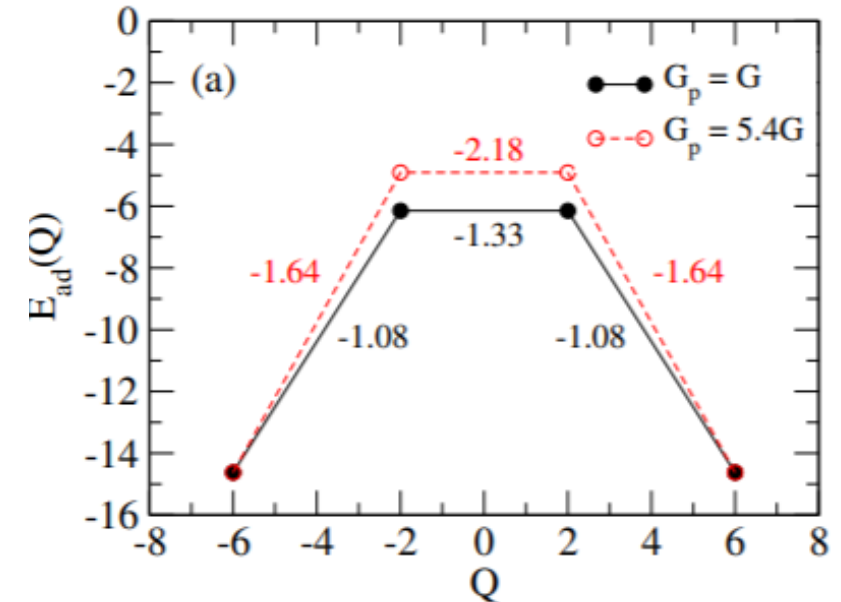
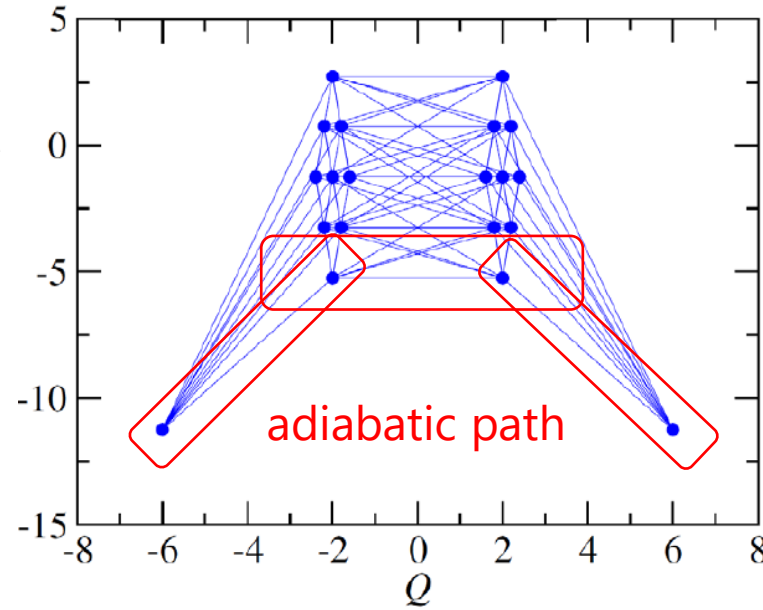
K. Hagino and G.F. Bertsch,
 Phys. Rev. C 102, 024316(2020).

先行研究: maximum coupling approximation

- full な対角化は計算量が大きい
(このモデルでは 20×20 行列)

- 断熱近似は崩壊幅を過小評価
(このモデルでは 4×4 行列)

- ペアリングを強めることで、full な対角化をした
場合と同程度の崩壊幅



バリア(対角要素):高
結合(非対角要素):大 ⇒ 最適な pairing strength

Motivation

pair hopping model : トイモデル



平均場+GCMに基づく微視的計算

➤ 微視的に定式化するメリット

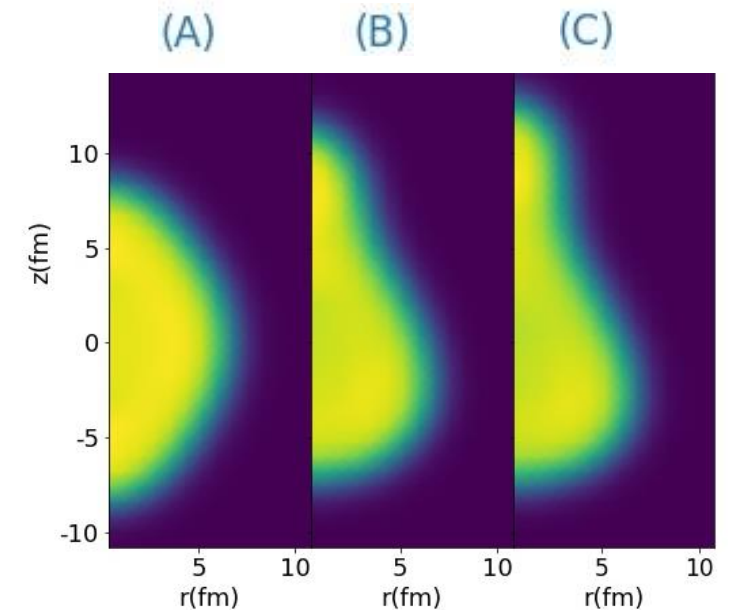
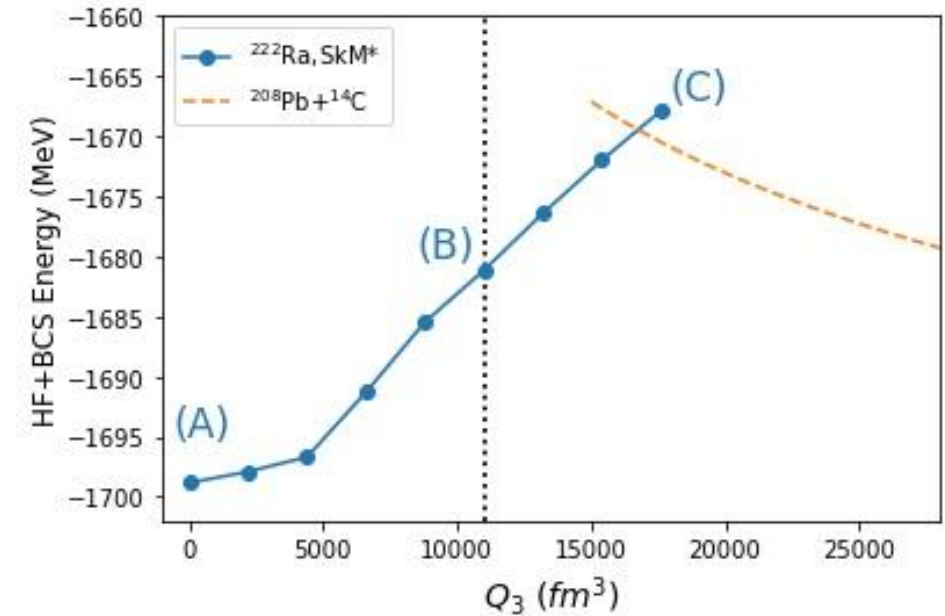
- ✓核分裂の微視的理解の進展
- ✓微視的ハミルトニアンを用いた反応理論への接続が可能
- ✓励起状態を含めた拡張ができる (particle-hole 励起の重ね合わせ)
- ✓集団慣性質量を導入する必要がない (cf. potential energy surface + WKB approximation)

Constraint HF + BCS calculation

扱うクラスター崩壊: $^{222}\text{Ra} \rightarrow ^{208}\text{Pb} + ^{14}\text{C}$

HF + BCS calculation

- Skyrme 相互作用 (SkM*)
- Volume pairing: $V_{pair}(\mathbf{r}, \mathbf{r}') = V_0 \frac{1-P_\sigma}{2} \delta(\mathbf{r} - \mathbf{r}')$
 $\Rightarrow V_0$ は $\Delta_n = -\frac{1}{2} [S_n(N+1, Z) - S_n(N, Z)]$ を再現
(proton も同様)
- mass octupole moment $Q_3 \equiv Q_{30}$ で拘束
- 軸対称2次元空間メッシュ表示を用いる



Generator Coordinate Method

GCMによるBCS 波動関数 $|\Phi(Q_3)\rangle$ の重ね合わせ

$$|\Psi_k\rangle = \int dQ_3 f_k(Q_3) |\Phi(Q_3)\rangle$$

⇒ Hill-Wheeler eq.

$$\int dQ'_3 f_k(Q'_3) (E_k \langle \Phi(Q_3) | \Phi(Q'_3) \rangle - \langle \Phi(Q_3) | H | \Phi(Q'_3) \rangle) = 0$$

→ 集団波動関数: $g_k = N^{1/2} f_k$; $N(Q_3, Q'_3) \equiv \langle \Phi(Q_3) | \Phi(Q'_3) \rangle$

以下では基底状態を取り扱う ($k = 0$)

崩壊率の計算

$$w = SfP$$

w : decay rate

S : クラスタ生成確率

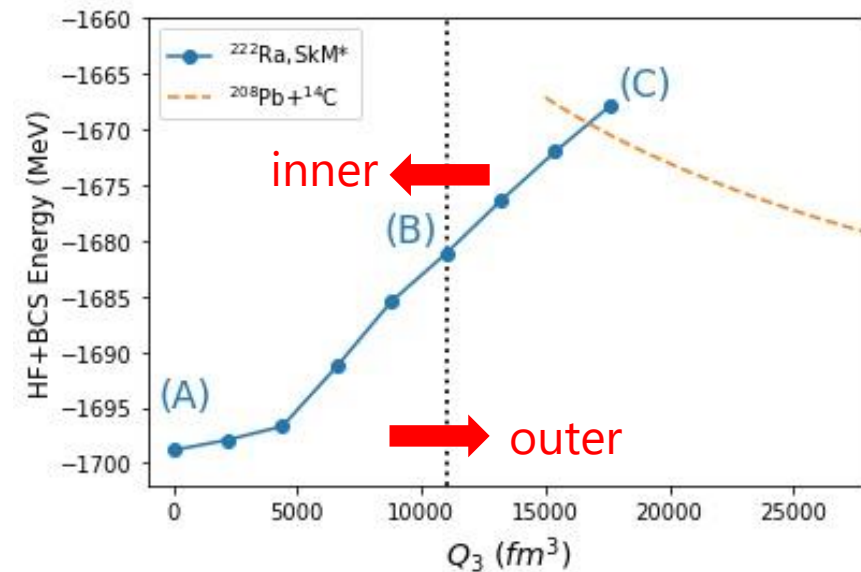
f : ポテンシャルバリアへの衝突振動数

P : ポテンシャルバリアの透過確率

GCMを用いて微視的に S を計算: ポテンシャル障壁の内側



クラスタモデルを用いて fP を計算: ポテンシャル障壁の外側



崩壊率の計算

$$w = SfP$$

クラスター模型+WKB近似を用いて fP を求める

$^{222}\text{Ra} \rightarrow ^{208}\text{Pb} + ^{14}\text{C}$ の Q 値: $Q = 33.05 \text{ MeV}$

$^{208}\text{Pb} + ^{14}\text{C}$ 間のポテンシャル(クーロン力+核力)

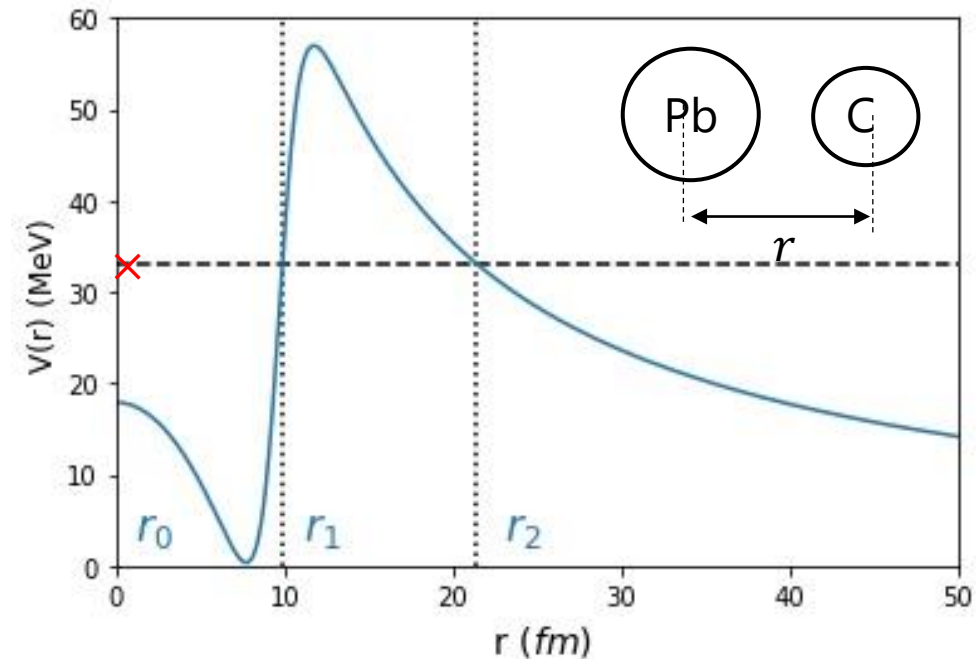
$$V = V_{\text{coulomb}} + V_N$$

V_N として Woods-Saxon 型をもちいる。

⇒ WKB 公式

$$f^{-1} = \frac{4\mu}{\hbar^2} \int_{r_0}^{r_1} \frac{dr}{k(r)} \cos^2 \left(\int_{r_0}^r k(r') dr' - \frac{\pi}{4} \right),$$

$$P = \exp \left(-2 \int_{r_1}^{r_2} dr |k(r)| \right),$$



Spectroscopic factor の計算

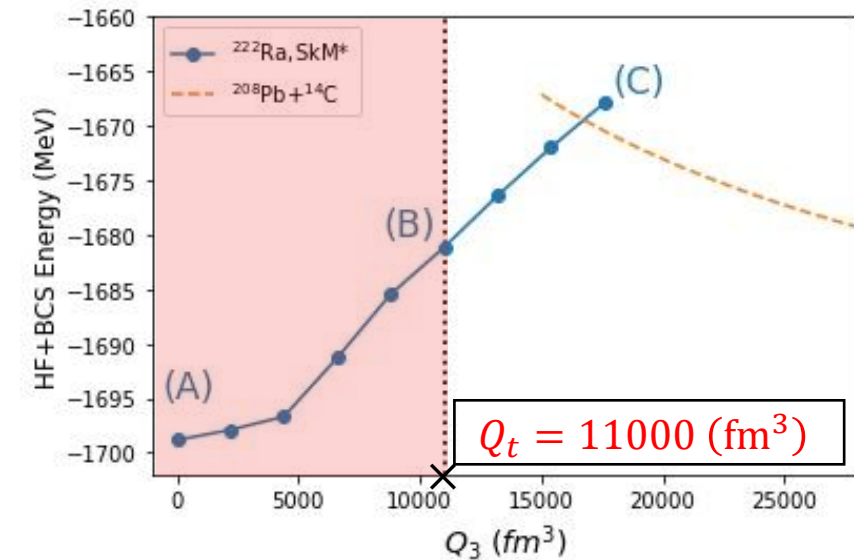
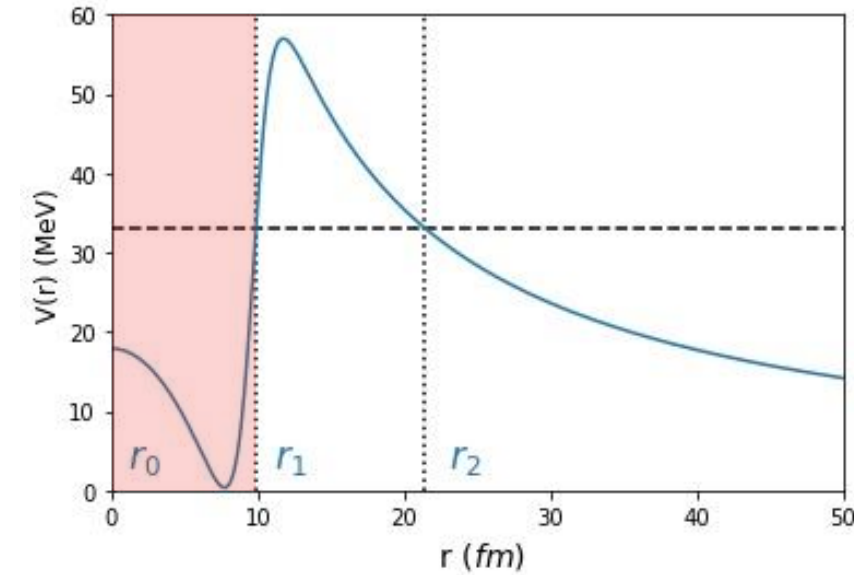
ポテンシャル障壁の内側: $(r_0 \leq r \leq r_1)$
でクラスターが生成

Q_3 と r の関係式

$$Q_3(r) = \frac{A_1 A_2}{A_1 + A_2} \frac{(A_1 - A_2)}{A_1 + A_2} r^3$$

$(Q_3(r_0) \leq Q_3 \leq Q_3(r_1) \equiv Q_t)$ の範囲でGCM

(B) という配位が含まれる確率: $|g(Q_t)|^2$
 \Rightarrow クラスター生成確率: $S = |g(Q_t)|^2$



maximum coupling approximation

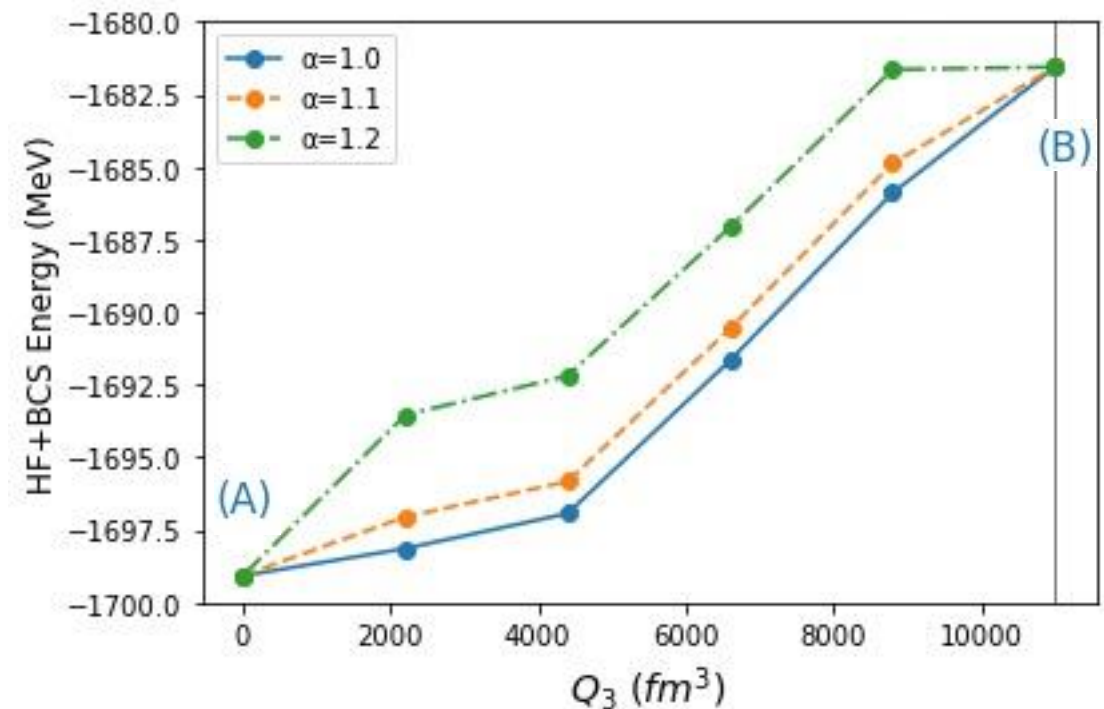
ペアリングの強度を強めた many-body Hamiltonian

$$H_{HF} + H_{pair} \rightarrow H_{HF} + \alpha H_{pair} \quad (\alpha \geq 1)$$

BCS波動関数も変化する: $|\Phi(Q_3)\rangle \rightarrow |\Phi^{(\alpha)}(Q_3)\rangle$
(Thouless の定理)

$$|\Phi^{(\alpha)}(Q_3)\rangle \propto \prod_{ij} \left(1 + \underline{C_{ij}^{(\alpha)}} \alpha_i^\dagger \alpha_j^\dagger \right) |\Phi(Q_3)\rangle$$

excited states を含む計算
⇒ 断熱近似を超えた効果の取り扱い



maximum coupling approximation

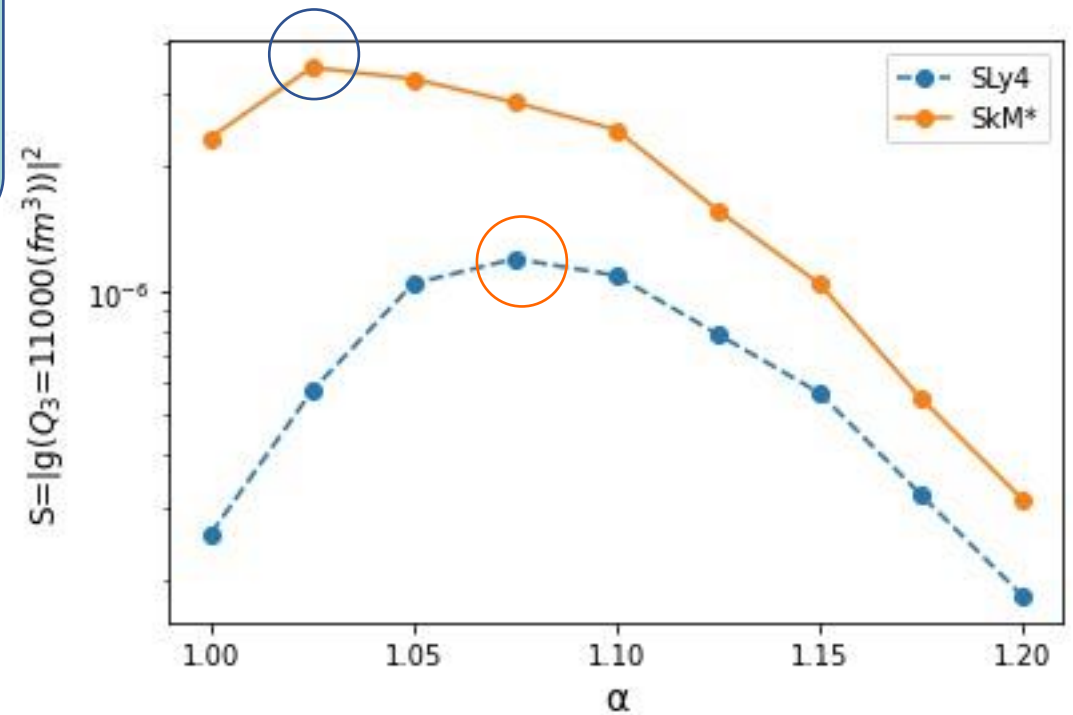
Hill-Wheeler eq.

$$\sum_j H(q_i, q_j) f(q_j) = E \sum_j N(q_i, q_j) f(q_j)$$

ペアリングを強くすると

- 対角要素 $H(q_i, q_i)$ が大きくなる
- 状態間の結合 $N(q_i, q_j)$ が大きくなる
 $\Rightarrow Q_3$ が大きい配位が混じりやすい

Spectroscopic factor S



pairing strength $\alpha > 1$ にピーク

計算結果:崩壊率の計算

decay rate を実験値、他計算と比較

✓実験値を1 – 2桁の精度で再現

✓MCA の効果は factor 倍程度

$$\frac{w(\alpha=1.025)}{w(\alpha=1.0)} = 1.35:(\text{SkM}^*)$$
$$\frac{w(\alpha=1.075)}{w(\alpha=1.0)} = 4.66:(\text{SLy4})$$

decay rate $w(s^{-1})$	method
1.18×10^{-10}	GCM(SkM*)
4.07×10^{-11}	GCM(SLy4)
$6.7(\pm 1.8) \times 10^{-12}$	experiment[1]
$5.6(\pm 2.2) \times 10^{-12}$	experiment[2]
$6.20(\pm 1.18) \times 10^{-12}$	experiment[3]
8.73×10^{-10}	the least action method[4]

[1] P. B. Price et al., Phys. Rev. Lett. 54, 297 (1985).

[2] E. Hourani et al., Phys. Lett. B 160, 375 (1985).

[3] M. Hussonnois et al., Phys. Rev. C 43, 2599 (1991).

[4] M. Warda and L.M. Robledo, Phys. Rev. C 84 044608 (2011).

重いクラスターの放出

同様の計算を $^{228}\text{Th} \rightarrow ^{20}\text{O} + ^{208}\text{Pb}$ 、 $^{232}\text{U} \rightarrow ^{24}\text{Ne} + ^{208}\text{Pb}$ に対して行う。

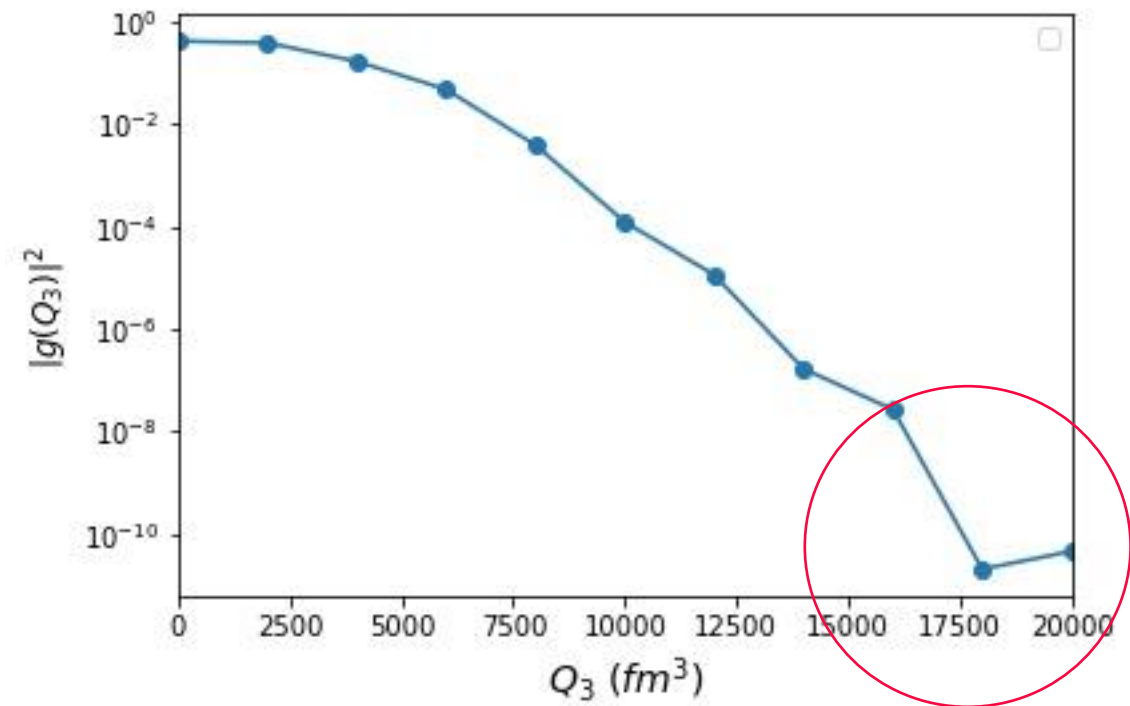
$$Q_t = 16000 \text{fm}^3 \text{ (}^{228}\text{Th)}$$

$$Q_t = 20000 \text{fm}^3 \text{ (}^{232}\text{U)}$$

⇒ Q_t が大きいことによる、数値誤差の問題

$6000 \text{fm}^3 \leq Q_3 \leq 12000 \text{fm}^3$ の領域で線形補完する

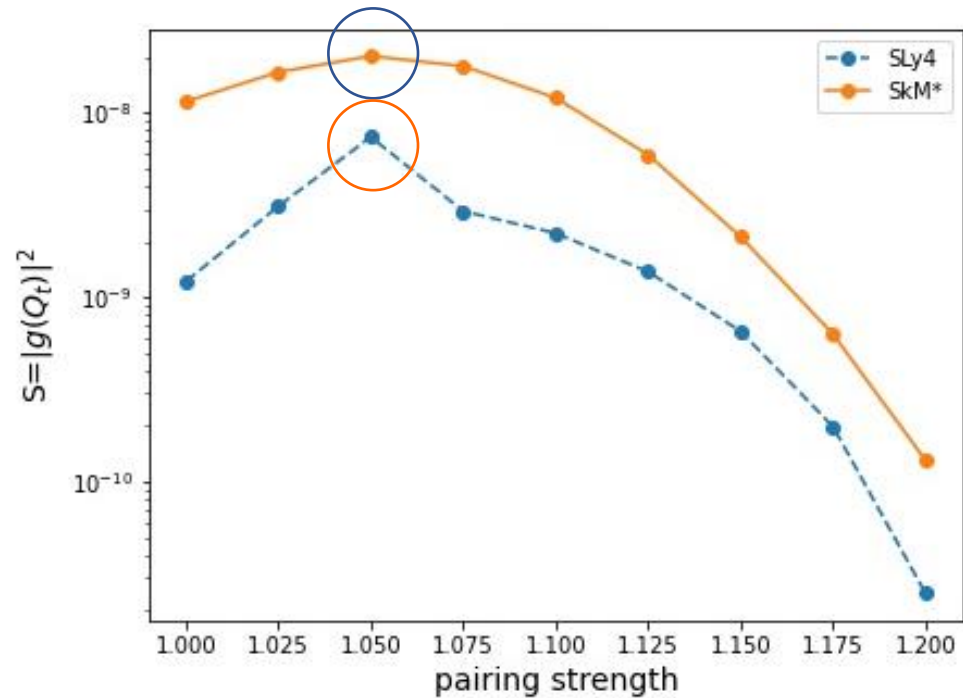
^{232}U の集団波動関数 $|g(Q_3)|^2$



重いクラスターの放出

✓ $^{228}\text{Th} \rightarrow ^{20}\text{O} + ^{208}\text{Pb}$

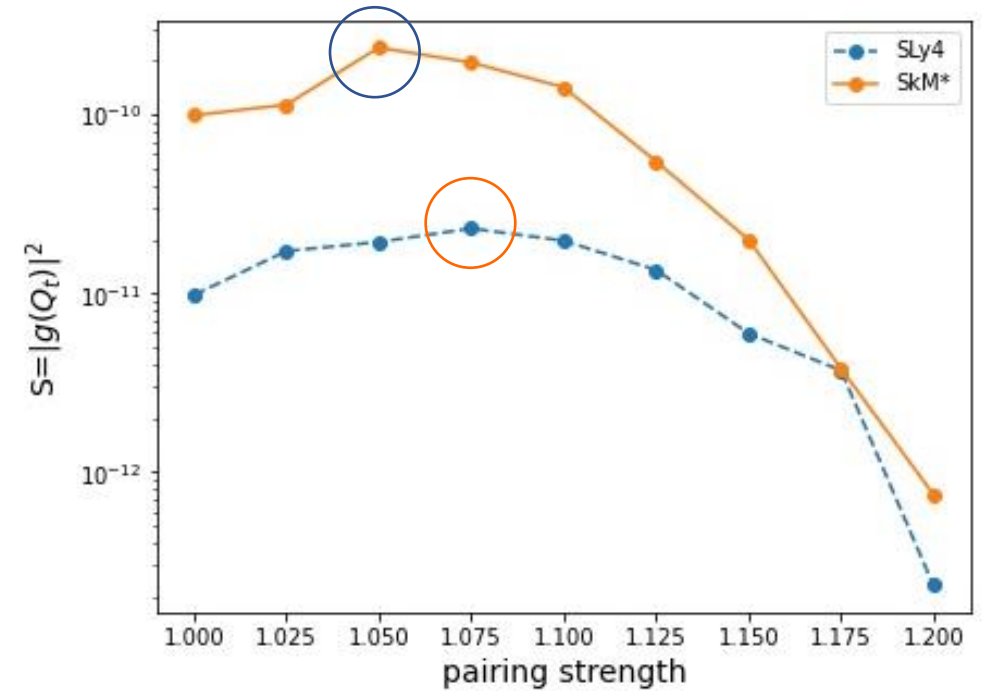
Spectroscopic factor S of ^{228}Th



$$\frac{S(\alpha=1.05)}{S(\alpha=1.0)} = 1.76 \text{ (SkM*)}$$
$$\frac{S(\alpha=1.05)}{S(\alpha=1.0)} = 6.06 \text{ (SLy4)}$$

✓ $^{232}\text{U} \rightarrow ^{24}\text{Ne} + ^{208}\text{Pb}$

Spectroscopic factor S of ^{232}U



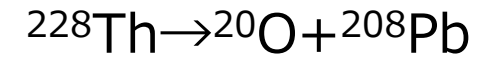
$$\frac{S(\alpha=1.05)}{S(\alpha=1.0)} = 1.97 \text{ (SkM*)}$$
$$\frac{S(\alpha=1.075)}{S(\alpha=1.0)} = 2.39 \text{ (SLy4)}$$

計算結果:重いクラスターの放出

decay rate を比較

✓ ^{228}Th では実験値を2 – 3桁の精度で再現

✓ ^{232}U では実験値との差が大きくなる
⇒フィッティングによる不定性



decay rate $w(s^{-1})$	method
1.11×10^{-18}	GCM(SkM*)
4.07×10^{-19}	GCM(SLy4)
2.05×10^{-20}	the least action method[4]
$1.29(\pm 0.22) \times 10^{-21}$	experiment[5]



decay rate $w(s^{-1})$	method
3.18×10^{-16}	GCM(SkM*)
3.01×10^{-17}	GCM(SLy4)
3.10×10^{-24}	the least action method[4]
$2.83(\pm 0.22) \times 10^{-21}$	experiment[6]

[4] M. Warda and L.M. Robledo, Phys. Rev. C 84 044608 (2011).

[5] R. Bonetti et al., Nucl. Phys. A556, 115 (1993).

[6] R. Bonetti et al., Phys. Rev. C 44, 888 (1991).

conclusion & future perspectives

まとめ

- pair hopping model → 平均場+GCMを用いた微視的計算
- $^{222}\text{Ra} \rightarrow ^{14}\text{C} + ^{208}\text{Pb}$ クラスタ崩壊へ適用
- 最大結合近似により 崩壊率がfactor倍程度変化する
- decay rate の実験値を同程度のオーダーで再現
- 重いクラスタ放出の場合は数値的な問題点

今後の発展

- 自発核分裂への適用を目指した、full に微視的な理論の構築
- odd-even 効果の寿命への影響
- particle-hole 励起を直接取り入れた誘起核分裂への応用